

## МАКСИМАЛЬНОЕ ФОРМОИЗМЕНЕНИЕ В ТОЧКЕ ТЕЛА И КРИТЕРИЙ ТЕКУЧЕСТИ МАТЕРИАЛА

Холодарь Б.Г.

Используемые критерии текучести и разрушения материалов в различной степени учитывают роль сдвиговых и объемных деформаций, а некоторые из них, например, классические критерии Треска и Мизеса, не содержат объемную деформацию в своих формулировках. Однако разнообразие проявляемых свойств материалов указывает на недостаточность такого подхода, что и отражается в многочисленных известных критериях [1]. Ниже обсуждается возможность построения такого рода критерия [2,3] на основе общих представлений механики сплошной среды.

При описании напряжено-деформированного состояния материала в точке нагруженного тела выделяют шаровую и девиаторную компоненты соответствующих тензоров. Шаровая деформация характеризует однородное расширение-сжатие материала, девиаторная – сдвиговое деформирование элементарного объема, сопровождающееся изменением его формы. Формоизменение складывается из двух составляющих – ортогонального формоизменения, происходящего при сохранении первоначально прямых углов элементарного параллелепипеда и соответствующего диагональным компонентам тензора-девиатора (деформации чистого сдвига), и углового формоизменения, связанного с искажением этих углов и соответствующего внедиагональным компонентам тензора (деформации простого сдвига).

Вырежем в некоторой точке тела элементарный объем в виде кубика со стороной  $da$ , боковые грани которого ориентированы перпендикулярно осям координат. Центр этого кубика обозначим точкой  $O$ . Ось  $W$ , равнонаклоненная к осям  $XYZ$ , пройдет через эту точку по ребру пентаэдра, построенного на одной из граней кубика (рис.1).

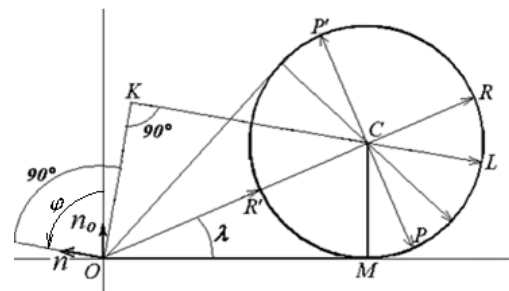
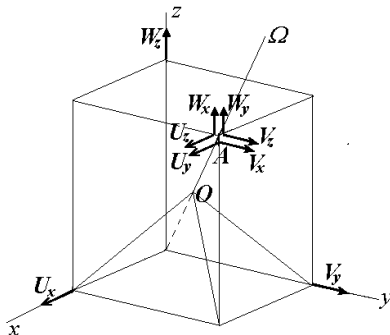


Рисунок 1 – Элементарный кубик и пентаэдр

Рисунок 2 – Диаграмма деформаций

Перемещения точек будем понимать как деформационные, не содержащие переносных смещений. Перемещения точки  $A$  за счет осевых дефор-

маций обозначены как  $U_x, V_y, W_z$ , (показаны на осях координат), девиаторная часть перемещений, соответствующая нормальным деформациям, составляет  $\delta x_\varepsilon = (2\varepsilon_x - \varepsilon_y - \varepsilon_z)/3 \cdot da$ ,  $\delta y_\varepsilon = (2\varepsilon_y - \varepsilon_z - \varepsilon_x)/3 \cdot da$ ,  $\delta z_\varepsilon = (2\varepsilon_z - \varepsilon_x - \varepsilon_y)/3 \cdot da$ , а соответствующая сдвиговым деформациям –  $\delta x_g = U_y + U_z$ ,  $\delta y_g = V_x + V_z$ ,  $\delta z_g = W_x + W_y$ , где  $U_x = \partial U / \partial x \cdot da = \varepsilon_x \cdot da$ ,  $U_y = \partial U / \partial y \cdot da$  и т.д. Полные девиаторные перемещения точки  $A$  по осям составляют  $\delta x = \delta x_\varepsilon + \delta x_g$ ,  $\delta y = \delta y_\varepsilon + \delta y_g$ ,  $\delta z = \delta z_\varepsilon + \delta z_g$ .

Если оси  $XYZ$  совпадают с осями главных деформаций, то сдвиговое смещение вершины пентаэдра полностью принадлежит октаэдрической плоскости, а квадрат этого смещения равен половине величины второго инварианта девиатора деформаций. Полное смещение вершины пирамидки дополнительно включает также радиальное смещение точки  $O$  вдоль оси  $W$ .

Деформационные перемещения точки  $O$  можно изобразить диаграммой (рис.2).

На ней отрезком  $OM$  изображено деформационное перемещение центра кубика от девиаторной компоненты деформации (совпадает с ортогональной, пропорциональной второму инварианту тензора-девиатора деформаций), располагающейся на октаэдрической плоскости, а отрезком  $MC$  – величина шаровой компоненты в направлении диагонали кубика (по орту  $n_o$ ). Если от октаэдрической плоскости перейти к плоскости, повернутой вокруг центра кубика (на некоторый угол  $j$ ), то лежащий на ней отрезок  $OK$  будет характеризовать ортогональное формоизменение,  $KL$  – угловое,  $LC$  – шаровое в направлении внешней нормали к этой плоскости. При повороте нормали на  $360^\circ$  изображающая точка  $L$  обходит контур окружности радиуса  $CM$ . Из рис.2 вытекает, что отрезок  $OR$  представляет собой максимальную угловую девиаторную деформацию, отрезок  $OC$  – максимальную ортогональную деформацию. Обе деформации, как видим, зависят от величины шаровой деформации. Максимальная угловая деформация является и максимально-возможной девиаторной деформацией. При реализации максимальной угловой деформации ортогональная часть отсутствует, при реализации максимальной ортогональной деформации угловая не равна нулю и изображается отрезками  $CP$  или  $CP'$ .

Из диаграммы следует, что вектор полного девиаторного формоизменения  $\bar{T}$  зависит от шаровой деформации и может значительно превосходить вектор ортогонального формоизменения. Для углов  $j = p/2 + 1$  и  $j = 3p/2 + 1$  девиаторное перемещение равно соответственно максимальному и минимальному равномерному угловому перемещению, а полное деформационное перемещение равно сумме двух равномерных смещений (углового и объемного). Равномерное угловое формоизменение превращает кубик в трехмерный ромб, вытянутый вдоль оси  $W$ , в то время как ортогональное – в параллелепипед. Как видим, максимальное формоизменение не связано с площадками главных касательных напряжений или октаэдрическими площадками, а определяется углом  $l$ .

Построенные векторные диаграммы являются обобщенными, позволяя охарактеризовать деформированное состояние материала в рассматриваемой точке вдоль любого заданного направления непосредственно в виде девиаторной и шаровой составляющих, а лежащие на оси  $OC$  векторы максимальной угловой и шаровой деформаций можно рассматривать как деформационный винт по аналогии с кинематическим винтом в теоретической механике. Такая структура полностью характеризует деформированное состояние в точке тела.

Диаграмма позволяет сформулировать критерий появления (зарождения) пластической деформации материала – началу течения соответствует достижение максимальным девиаторным перемещением  $OR$  своего предельного уровня  $T_p$ . Этот уровень может быть установлен из опыта на одномерное растяжение образца до деформации, соответствующей пределу текучести (пропорциональности) материала [2]:

$$T_p^2 = \frac{1}{18} \left[ (1+m)^2 + 4(1-2m)^2 + 2\sqrt{2}(1+m)(1-2m) \right] \frac{S_T^2}{E^2},$$

где  $m$  - коэффициент Пуассона,  $S_T$  – предел текучести,  $E$  – модуль упругости материала.

При пропорциональном увеличении приложенной нагрузки отрезок  $OR$  удлинится за предельный уровень и текучесть охватывает все больший объем материала выделенной вокруг точки  $O$  элементарной сферы. Диаграмма позволяет оценивать относительную долю  $y$  объема материала, перешедшего в состояние текучести (незаштрихованная часть объема сферы  $C$  на рис.3а). Величина этой доли зависит от уровня нагружения и вида напряженного состояния.

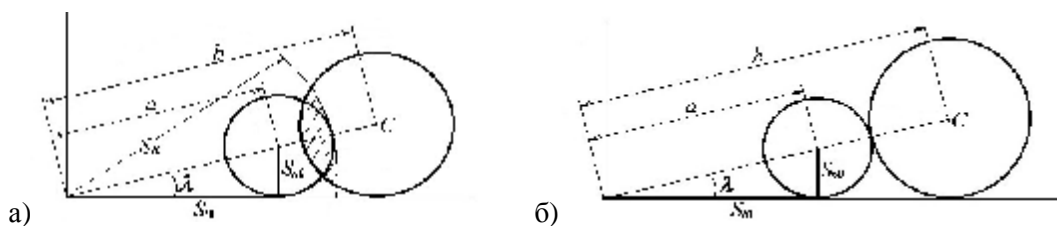


Рисунок 3 – а - Частичная текучесть в точке ( $1 < n < n_k, y < 1$ ), упругая  $S < S_R$  и неупругая  $S > S_R$  зоны работы материала; б - Полная текучесть ( $n = n_k, y = 1$ )

Например, если при заданном  $\lambda = \arctg(S_{n0}/S_{t0})$  достигнут уровень зарождения текучести при нагрузке  $P_n$ , то при сохранении режима пропорционального нагружения весь объем материала перейдет в пластическое состояние при нагрузке полной текучести, равной  $P_k = P_n \cdot b/a = P_n \frac{\sqrt{1 + \text{ctg}^2 \lambda} + 1}{\sqrt{1 + \text{ctg}^2 \lambda} - 1}$ . Обозначив  $n_k = P_k/P_n$ ,

найдем для него несколько значений, учитывая также, что при этом  $m = 0.5$ :  $1 = 0^\circ - n_k = 1.0$ ,  $1 = 15^\circ - n_k \approx 1.7$ ,  $\lambda = 30^\circ - n_k \approx 3.0$ ,  $\lambda = 45^\circ - n_k \approx 5.8$ ,  $1 = 60^\circ - n_k \approx 13.9$ . Кривые  $n_k(1)$  и  $y(n, 1)$  показаны на рис.4.

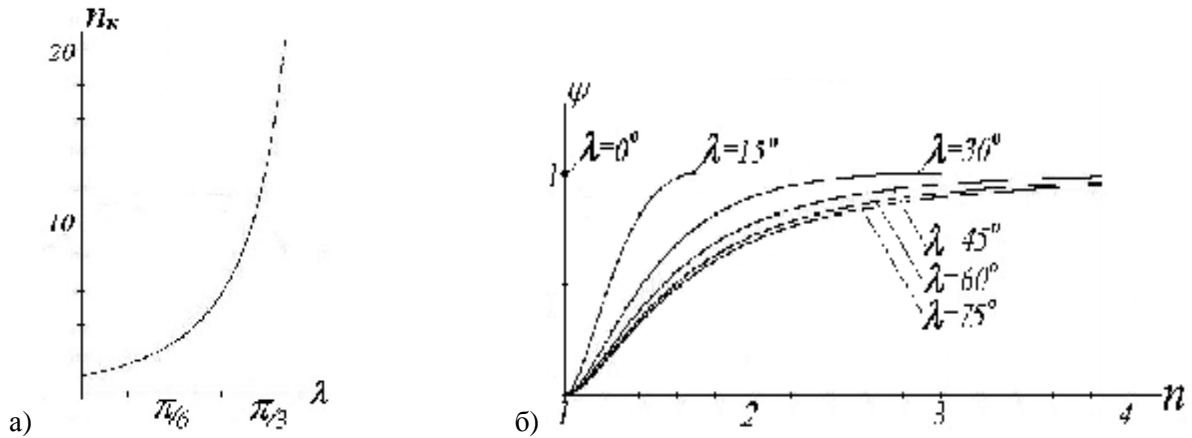


Рисунок 4 – а - Коэффициент полной пластичности  $n_k(l)$ ;  
 б - Коэффициент относительного неупругого объема  $u(n, l)$  в точке тела

Для получения критерия перехода к развитой пластичности, которая как раз и фиксируется в соответствующих испытаниях, необходимо провести квадратическое осреднение по сферическому углу (аналогично трактовке октаэдрических напряжений и деформаций по Новожилову). На обобщенной диаграмме (рис.2) получающемуся в результате квадратического осреднения критерию развитой пластичности соответствуют изображающие точки  $P$  и  $P'$  при  $OP=OP'=\sqrt{OM^2+2MC^2}$ . В напряжениях критериальная зависимость приобретает вид

$$S_1^2 + S_2^2 + 2aS_1S_2 = b, \quad S = s / S_T, \quad (1)$$

где  $S_{1,2} = S_{1,2} / S_T$ ,  $S$  и  $S_T$  – напряжение и предел текучести материала,

$S_1, S_2$  – главные напряжения,  $a$  и  $b$  – константы, зависящие от коэффициента Пуассона  $\mu$  и определяемые при использовании обобщенного закона Гука для случаев плоско-напряженного и плоско-деформированного состояний (ПНС, ПДС) соответственно выражениями [2,3]

$$a = 1 - \frac{3(1+m)^2}{2k}, \quad b = \frac{5-14m+17m^2}{k}, \quad k = (1-m)^2(5-7m+5m^2) + 3m,$$

и

$$a = 1 - \frac{3}{2k}, \quad b = \frac{5-14m+17m^2}{(1+m)^2k}, \quad k = 5-17m+17m^2.$$

Соответствующие критериальные кривые показаны на рис.5. При  $\mu=0.5$  для ПНС критерий (1) весьма близок к критерию Мизеса (пунктирная кривая), а для ПДС совпадает с ним. Принципиальное отличие критериев заключается в том, что критерий Мизеса опирается на деформации чистого сдвига, а предлагаемый критерий – на деформации простого сдвига.

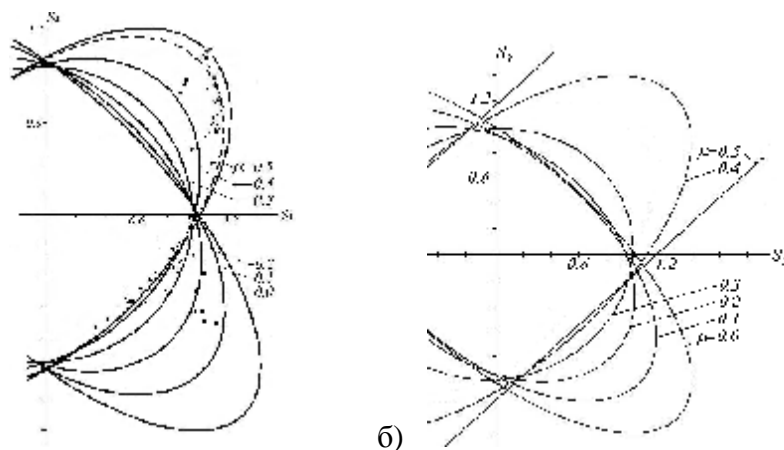


Рисунок 5 – а - Критериальные кривые для ПНС и сравнение с экспериментальными данными [4]; б - критериальные кривые для ПДС

Близостью критерия Мизеса к предельной кривой  $m=0.5$  объясняется, на наш взгляд, его универсальность, выражающаяся в использовании его в качестве критерия текучести при  $S=S/S_T$  и в качестве критерия прочности при  $S=S/S_B$ . Особенностью хода кривых в зоне  $S_1 \cdot S_2 < 0$  является удаление их от кривой Мизеса (увеличение выпуклости) с уменьшением коэффициента Пуассона, что в целом отвечает результатам испытаний материалов разной хрупкости [4]. Судя по зависимости  $n(I)$ , полная текучесть для многих материалов и напряженных состояний при нормальных температурах является недостижимой, – например, при двухосном растяжении должно выполняться соотношение  $S_1=S_2 \gg 2.5$ , что не реализуется экспериментально (см. [2]).

Дополнительным подтверждением работоспособности предложенного критерия может служить определение положения наклонной площадки, по которой в соответствии с (1) должно происходить разрушение образца при испытаниях на одноосное сжатие (здесь отождествляем критерии деформирования и разрушения). В этом случае угол  $\lambda$  определяется по формуле  $\operatorname{tg} \lambda = \frac{1-2\mu}{1+\mu} \sqrt{2}$ , его зависимость от  $\mu$  близка к линейной и показана на рис.6. На рис.7 показано положение расчетной площадки относительно продольной оси  $Z$  образца. Угол  $\Omega$  определяет положение октаэдрической оси с ортом  $n_o$ .

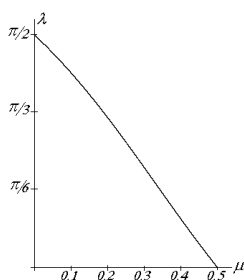


Рисунок 6 – Зависимость  $\lambda(\mu)$

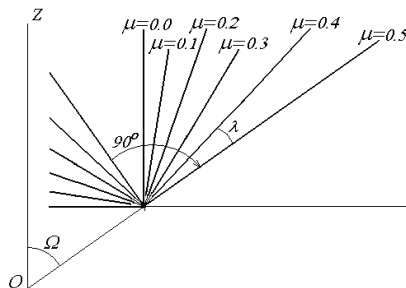


Рисунок 7 – Положение расчетных площадок относительно оси нагружения

Расчетные углы наклона площадки разрушения идеально-пластического материала ( $\mu=0.5$ ) и идеально-хрупкого ( $\mu=0$ ) отличаются между собой на  $54.73^\circ$ , причем для  $\mu=0$  имеем площадку разрушения, параллельную оси  $Z$ . Последнее соответствует экспериментальным данным для хрупких тел, например, кирпича. Известно также, что при испытании образцов горных пород площадки разрушения всегда наклонены к оси нагружения под углами менее  $45^\circ$  [5]. При объяснении этого обстоятельства следует учесть, что с ростом нагрузки расчетные площадки поворачиваются от своих исходных положений, соответствующих моменту зарождения текучести, в направлении площадок развитых пластических деформаций (в пределе на  $90^\circ$ ), и поэтому угловое положение предельных площадок, наблюдаемое в опытах, может не вполне соответствовать расчету, так как разрушение материала могло произойти прежде, чем площадки развитой текучести были достигнуты.

Естественно, что одновременное наличие упругой и пластической фаз материала в точке тела при дальнейшем увеличении нагрузки приводит на уровне микроструктуры материала к дроблению зерен и трещинообразованию, что с точки зрения механики сплошной среды отражается некоторой функцией поврежденности материала  $w(x,y,z,t)$  [6].

Предложенный критерий по сути является деформационным, и традиционная запись его через напряжения эквивалентна записи через соответствующие им упругие деформации, зависящие от формы диаграммы растяжения на участке упрочнения. Использование нелинейных зависимостей между интенсивностями деформаций и напряжений, принятых в теории пластичности, при одновременном введении в критерий (1) величин  $w$  и  $\psi$  позволит обоснованно осуществить переход от критерия текучести к критерию разрушения материала и тем самым обеспечит более надежное определение уровней разрушающих нагрузок и запасы прочности конструкций.

Рассмотренный подход может быть использован также при построении критериев текучести и длительной прочности реономных материалов.

#### **СПИСОК ЦИТИРОВАННЫХ ИСТОЧНИКОВ**

1. Трощенко, В.Т., Красовский, В.В., Сосновский, Л.А., Стрижало, В.А. Сопrotивление материалов деформированию и разрушению. Справочное пособие. Часть 2. Киев, Наукова думка, 1994г. -702с
2. Холодарь, Б.Г. О геометрическом представлении девиаторной деформации // Теоретическая и прикладная механика. Выпуск 30, – Минск, БНТУ, 2015, с. 236-242.
3. Холодарь, Б.Г. Критерий максимального формoизменения как условие перехода материала в пластическое состояние // Деформация и разрушение материалов, – М., изд. “Наука и технологии”, 2016. № 3. с. 2–5.
4. Пономарев, С.Д. и др. Расчеты на прочность в машиностроении. Том I. ГНТИ машиностроительной литературы. М., 1956, -884с.
5. Егер, Дж.К. Упругость, прочность и текучесть. М., Машгиз, 1961, -172с.
6. Холодарь, Б.Г. Долговечность материала при сложном напряженном состоянии // Деформация и разрушение материалов, – М., изд. “Наука и технологии”, 2013, №3, с. 8-13.